

06.2; 07; 12

(C) 1991

АНОМАЛЬНАЯ ИМПЛАНТАЦИЯ *As* В *Si*  
ПОД ВОЗДЕЙСТВИЕМ ИЗЛУЧЕНИЯ *KrF* ЛАЗЕРА

В.Л. Канцырев, П.Б. Сергеев,  
М.А. Тюнина

Обработка полупроводников излучением импульсных эксимерных лазеров, включая жидкофазные процессы легирования из источников примесей различных типов и рекристаллизацию, может широко использоваться в технологии микроэлектроники. Одна из областей применения – создание мелкозалегающих прямоугольных профилей легирования с высокой концентрацией внедренной примеси. Известны работы по формированию таких концентрационных профилей в кремнии методом многоимпульсного фотохимического легирования [1] и в результате многоимпульсного воздействия на слои кремния с предварительной ионной имплантацией большими дозами легирующей примеси [2]. Возможно также легирование из твердого пленочного источника примеси на поверхности обрабатываемого полупроводника [3, 4].

В данной работе исследованы особенности распределения примеси при легировании поверхности кремния мышьяком из предварительно нанесенных пленок *As* под воздействием излучения мощного *KrF* лазера.

В экспериментах использовались подложки монокристаллического кремния ориентации (100) и (111) с исходной концентрацией акцепторной примеси  $10^{14} \dots 10^{16}$  см $^{-3}$ . На рабочей поверхности подложек формировали низкотемпературным вакуумным напылением пленки *As* толщиной до 0.3 мкм [4]. Облучение образцов проводили в вакууме ( $10^{-5}$  мм рт. ст.) при комнатной температуре. Плотность энергии лазерного излучения (длина волны 248 нм, длительность импульса 80 нс) на подложке Е составляла от 1.0 до 2.5 Дж/см $^2$  при площади сечения лазерного пучка до 2 см $^2$  [5]. Интервал Е выбран по результатам ранее выполненных исследований и соответствует оптимальному режиму формирования п-р-переходов *As* : *Si* с характеристиками близкими к характеристикам идеального диода [4]. Для сравнения проведены были также эксперименты по отжигу *Si* с ионной имплантацией *As* (энергия ионов 40 кэВ, доза имплантации до  $10^{16}$  см $^{-2}$ ) и *Sb* (100 кэВ,  $10^{15} \dots 10^{16}$  см $^{-2}$ ) в том же интервале Е. Распределение примеси в *Si* после лазерной обработки изучалось методом нейтронно-активационного анализа с послойным травлением *Si* [4].

Исследования показали, что характер распределения *As* в *Si*, внедренного из пленки в моноимпульсном режиме лазерного воздей-

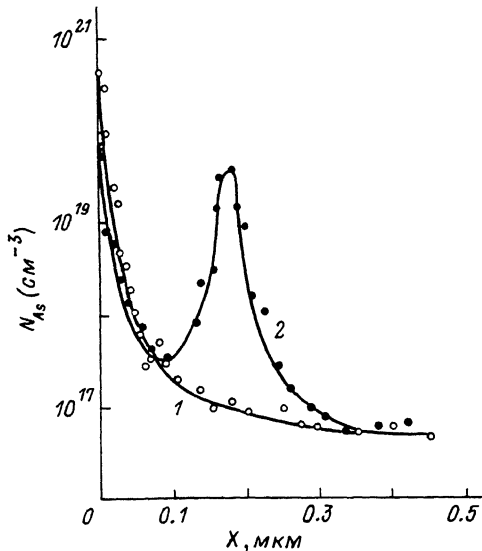


Рис. 1. Профили концентрации As лазерно-имплантированного в Si при  $E=2$  Дж/см $^2$ . 1 - моноимпульсное облучение; 2 - многоимпульсное облучение, число импульсов  $N \geq 2$ .

ствия, не зависит от толщины пленки и ориентации Si. Профиль концентрации As в Si ( $N_{As}(X)$ ) имеет максимум у поверхности Si в слое до 0.01 мкм, резкий спад на глубине до 0.1 мкм и „хвост” вплоть до 0.2...0.6 мкм (рис. 1). Максимальная концентрация As не связана с толщиной пленки As. и растет с повышением E от  $1.5 \cdot 10^{18}$  см $^{-3}$  при  $E=1.0$  Дж/см $^2$  до  $5 \cdot 10^{20}$  см $^{-3}$  при  $E=2.5$  Дж/см $^2$ . Максимальная глубина внедрения примеси также растет с повышением E и хорошо совпадает с расчетными значениями глубины проплава Si [6]. Эти зависимости объяснимы с точки зрения модели плавления Si под воздействием лазерного излучения и жидкофазной диффузии As из паров у поверхности расплава Si, образующихся вследствие поглощения излучения планкой As с последующим ее нагревом и сублимацией (T сублимации 300 °C). Наличие в распределении примеси приповерхностного пика можно, вероятно, связать с более длительным существованием жидкой фазы у поверхности подложки, чем в глубине. Но различие времени диффузии в этом случае не может дать отличие в концентрациях на 2...3 порядка величины. Более вероятной причиной возникновения пика представляется сегрегация As в Si. Известно, что равновесное значение коэффициента сегрегации As в Si  $K_{As}^*$  составляет примерно 0.3 [7]. По литературным данным [7], в процессе затвердевания расплава Si после лазерного воздействия реализуются сильно неравновесные условия, приводящие к значительному росту коэффициента сегрегации. Исследования перераспределения ионно-имплантированного As в Si под воздействием импульсного излучения эксимерных лазеров, проведенные в [2],

показали отсутствие сегрегационного пика, на основании чего  $K_{As}$  при скоростях кристаллизации  $Si$  (начиная с  $v=3$  м/с) полагают равным 1.0. В нашем случае оценка скорости волны кристаллизации дает величину 3.5 м/с, что должно привести к  $K_{As} \rightarrow 1$  и отсутствию сегрегации.

С целью выяснения природы этого противоречия было исследовано перераспределение внедренного из пленки  $As$  под воздействием нескольких импульсов излучения с одинаковой  $E$ . Обнаружено, что, начиная со второго импульса,  $As$  перераспределяется в  $Si$  с некоторым уменьшением приповерхностного пика и образованием в глубине подложки (для  $E=2.0$  Дж/см<sup>2</sup> – на глубине около 0.2 мкм) второго пика со значением концентрации в максимуме, отличающимся от поверхностного на порядок величины (рис. 1). Изменений профиля распределения, сформированного двумя импульсами лазерного излучения, при последующих импульсах не обнаружено. Можно утверждать, что такое распределение с двумя максимумами соответствует некоему равновесному состоянию.

Аномальное перераспределение  $As$  в  $Si$  обнаружено и в результате одно- и многоимпульсного облучения  $Si$  с ионной имплантацией  $As$ . Внедрение ионов  $As^+$  с энергией 40 кэВ создавало профиль, близкий к гауссовому, с максимумом на глубине около 0.03 мкм. Облучение с  $E=2.0$  Дж/см<sup>2</sup>, согласно результатам ранее выполненных работ [2], должно было привести к уширению профиля, его сглаживанию и внедрению примеси на глубину, несколько большую, чем глубина проплава монокристаллического  $Si$ .

В исследованных нами образцах, помимо уширения профиля и увеличенной глубины внедрения  $As$ , обнаружен аномально большой сегрегационный пик у поверхности  $Si$  (рис. 2), свидетельствующий о том, что после лазерного воздействия на поверхности образца имеется слой почти чистого  $As$ . Уменьшение приповерхностного пика при воздействии последующих импульсов связано, вероятно, с потерей  $As$  с поверхности. Сам же профиль остается практически неизменным. Известно, что аналогичные профили можно сформировать воздействием импульсного излучения эксимерных лазеров на  $Si$  с ионной имплантацией примеси, обладающей низким значением коэффициента сегрегации (например,  $In$ ,  $Ga$ ,  $Bi$ ), которое при скорости кристаллизации  $v \approx 3$  м/с увеличивается в 500...600 раз и может достигать 0.2...0.4 [7]. Наличие сегрегационного пика в распределении  $As$  в  $Si$  свидетельствует об отличном от 1.0 значении коэффициента сегрегации и вероятности реализации условий формирования твердого раствора, близких к равновесным. Это подтверждается наличием сегрегационного пика в профиле распределения  $Sb$  в  $Si$  после ионной имплантации и последующего моноимпульсного лазерного воздействия с  $E = 2.0$  Дж/см<sup>2</sup> (рис. 2).

Таким образом, экспериментально обнаружено аномальное распределение  $As$  в  $Si$ , формируемое в результате воздействия лазерного излучения вmono- и многоимпульсном режиме как на пленки  $As$ , нанесенные на поверхность  $Si$ , так и на слои в  $Si$

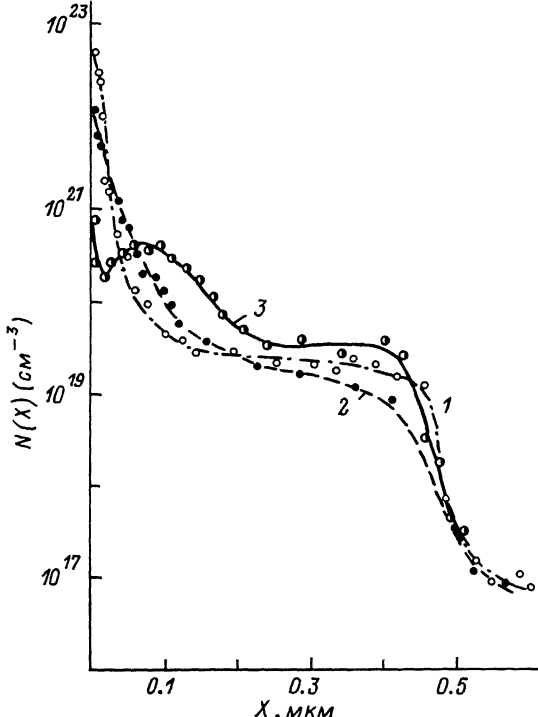


Рис. 2. Профили концентрации  $As$  и  $Sb$  в  $Si$ . 1 - после ионной имплантации  $As$  (энергия 40 кэВ, доза 1500 мкКул/см<sup>2</sup>); 2 - после ионной имплантации  $As$  и лазерного облучения  $E=2.0$  Дж/см<sup>2</sup>; 3 - после ионной имплантации  $Sb$  (энергия 100 кэВ, доза 1000 мкКул/см<sup>2</sup>) и лазерного воздействия  $E=2.0$  Дж/см<sup>2</sup>.

с предварительной ионной имплантацией  $As$ . Наличие приповерхностного сегрегационного пика и генерация второго заглубленного пика свидетельствуют об отличном от 1.0 значении коэффициента сегрегации и вероятности равновесного формирования твердого раствора. Причины возникновения равновесных условий должны быть выяснены в ходе дальнейших исследований.

#### Список литературы

- [1] G a r e y P.G., S i g n o v T.M. // Appl. Surf. Sci. 1989. V. 43. N 1-4. P. 325-332.
- [2] F o g a r a s s y E., F u c h s C., D e U n a m u n o S., S i f f e r t P. // Appl. Surf. Sci. 1989. V. 43. N 1-4. P. 316-320.

- [3] Быковский Ю.А., Вьюков Л.А., Колосов Ю.Н., Людчик О.Р., Неволин В.Н. // Квантовая электроника. 1984. Т. 11. С. 2172-2176.
- [4] Канцырев В.Л., Морозов Н.В., Ольшванигер Б.А., Сергеев П.Б., Тюнина М.А. // Письма в ЖТФ. 1991. Т. 17. № 2. С. 53-61.
- [5] Канцырев В.Л., Морозов Н.В., Сергеев П.Б., Тюнина М.А. // Краткие сообщения по физике (ФИАН). 1990. № 9. С. 3-5.
- [6] Wood R.F., Ellison G.E. // J. Semicon. Semimet. 1984. V. 23. P. 166-169.
- [7] Roate J.M., Mayer J.W., Laser Annealing of Semiconductors. Academic Press. New York. 1982. 155 p.

Поступило в Редакцию  
21 июня 1991 г.